

06.2

© 1992

ПОЛУЧЕНИЕ УЗКОЗОННЫХ ТВЕРДЫХ РАСТВОРОВ  
 $InAs_{1-x-y}Sb_xBi_y$  МЕТОДОМ  
 ЖИДКОФАЗНОЙ ЭПИТАКСИИ

Р.Х. Акчурин, Т.В. Сахарова

Твердые растворы  $InAs_{1-x}Sb_x$  вызывают значительный интерес как материал фотоприемных устройств для среднего и дальнего ИК-диапазона [1]. В последние годы достигнуты практические успехи в получении методами молекулярно-лучевой и МОС-гидридной эпитаксии упругонапряженных сверхрешеток на их основе ( $0.8 < x < 1.0$ ) с длинноволновым краем собственного оптического поглощения, лежащим в области  $\lambda > 8$  мкм при 77 К [2, 3]. Уменьшения ширины запрещенной зоны ( $E_g$ ) твердых растворов  $InAs_{1-x}Sb_x$  можно добиться и введением в их состав висмута (по аналогии с  $InSb < Bi >$  [4]), что должно также способствовать частичному уменьшению рассогласования периодов кристаллической решетки при росте эпитаксиальных слоев (ЭС) на подложках  $InSb$ .

В настоящей работе исследовали условия роста ЭС  $InAs_{1-x-y}Sb_xBi_y$  на подложках  $InSb$  (111) В с  $P_{77K} = (3-5) \times 10^{14}$  см<sup>-3</sup> методом жидкокфазной эпитаксии (ЖФЭ) с использованием висмута в качестве растворителя. ЖФЭ проводили при температурах 390–450 °C в изотермическом режиме из растворов–расплавов, предварительно переохлажденных для предотвращения подрастворения подложки. Составы растворов–расплавов выбирали на основании расчета гетерогенных равновесий в системе  $In - As - Sb - Bi$ , а температуры их ликвидуса уточняли путем визуального наблюдения за растворением кристаллов твердого раствора на поверхности предварительно гомогенизированного и переохлажденного раствора–расплава при его последующем нагреве. Величина минимального переохлаждения ( $\Delta T_0^{\min}$ ), необходимого для предотвращения подрастворения подложки  $InSb$  четырехкомпонентным раствором–расплавом зависела от температуры эпитаксии и концентрации мышьяка в жидкой фазе и при получении ЭС состава  $x = 0.88-0.95$  изменялась от 5 до 15 °C при  $T_{\text{ЭП}} = 390-405$  °C и от 8 до 20 °C при  $T_{\text{ЭП}} = 440-450$  °C. С увеличением исходного переохлаждения, при прочих равных условиях, концентрация антимонида индия в ЭС возрастала, что связано, очевидно, с уменьшением эффективного коэффициента распределения  $As$  вследствие увеличения скорости роста.

Состав ЭС определяли методом локального рентгеноспектрального анализа. Содержание  $Bi$  в ЭС оценивали методом массспект-

рометрии вторичных ионов с использованием в качестве эталона ЭС  $InSb < Bi >$ ; по результатам анализа не обнаружено различия в концентрации  $Bi$  в исследованных ( $x=0.92-0.95$ ) и эталонных образцах. Основываясь на данных [5] по растворимости  $Bi$  в  $InSb$ , значение у оценивалось равным  $\sim 0.009$ .

Непосредственно на подложках  $InSb$  выращены ЭС состава  $x=0.88-0.95$ . Получить качественные ЭС  $InAs_{1-x-y}Sb_xBi_y$  с  $x < 0.88$  таким способом не удалось, так как для подавления подрастворения подложки в этом случае требовалось переохлаждение раствора — расплава на величину более  $25^{\circ}\text{C}$ , приводившее к гомогенной кристаллизации в жидкой фазе и неконтролируемому изменению состава ЭС. Для выращивания ЭС  $InAs_{1-x-y}Sb_xBi_y$  с  $x < 0.88$  подложки  $InSb$  защищали буферным слоем твердого раствора с большим значением  $x$ , при этом удалось получить гетероструктуры с составом второго ЭС  $0.82 < x < 0.88$ .

Плотность дислокаций несоответствия вблизи гетерограниц, определенная по картинам травления косых шлифов, составила от  $1 \cdot 10^7$  до  $5 \cdot 10^7 \text{ см}^{-2}$ .

Спектры оптического пропускания гетероструктур, снятые при  $77 \text{ K}$  в диапазоне длин волн  $4.5-25 \text{ мкм}$ , представлены на рис. 1, а. Для расчета коэффициента поглощения  $\alpha$  использовали известное соотношение:

$$I = I_0 \cdot \frac{(1-R)^2 \exp(-\alpha t)}{1 - R^2 \exp(-2\alpha t)},$$

где  $R$  — коэффициент отражения,  $t$  — толщина ЭС. При определении  $\alpha$  учитывали поглощение буферных слоев и подложки, а коэффициент отражения принимали равным  $R_{InSb}=0.35$  [6]. Полученные зависимости  $\alpha$  от  $h\nu$  для ЭС различного состава показаны на рис. 1, б. Ширину запрещенной зоны определяли обратной кривых зависимостей  $\alpha^2$  от  $h\nu$  по стандартной методике. Установленные при этом значения  $E_g$  практически совпадали с величинами, определенными при значении  $\alpha=300 \text{ см}^{-1}$ , принятым в [7].

Экспериментальные данные по зависимости  $E_g$  от состава ЭС представлены на рис. 2, где приведены также расчетные зависимости ширины запрещенной зоны от состава твердых растворов  $InAs_{1-x}Sb_x$  и  $InAs_{1-x-y}Sb_xBi_y$  [8]. Из рис. 2 видно, что для ЭС  $InAs_{1-x-y}Sb_xBi_y$  наблюдается уменьшение  $E_g$  в среднем на  $0.04 \text{ эВ}$  по сравнению с расчетной для  $InAs_{1-x}Sb_x$ . При этом для однослойных гетероструктур достигнуты значения  $E_g$  до  $0.165 \text{ эВ}$ , а для двухслойных — до  $0.145 \text{ эВ}$  при  $77 \text{ K}$ .

Электрофизические характеристики ЭС  $InAs_{1-x-y}Sb_xBi_y$  оценивали путем измерений эффекта Холла на установке Холл-100 с относительной погрешностью  $15 \%$ . По результатам измерений ЭС имели р-тип проводимости с  $P_{77K} 2 \cdot 10^{16}-2 \cdot 10^{17} \text{ см}^{-3}$  и  $M_{77K}=(1.2-5.5) \cdot 10^3 \text{ см}^2/\text{В} \cdot \text{с}$ . По результатам измерений

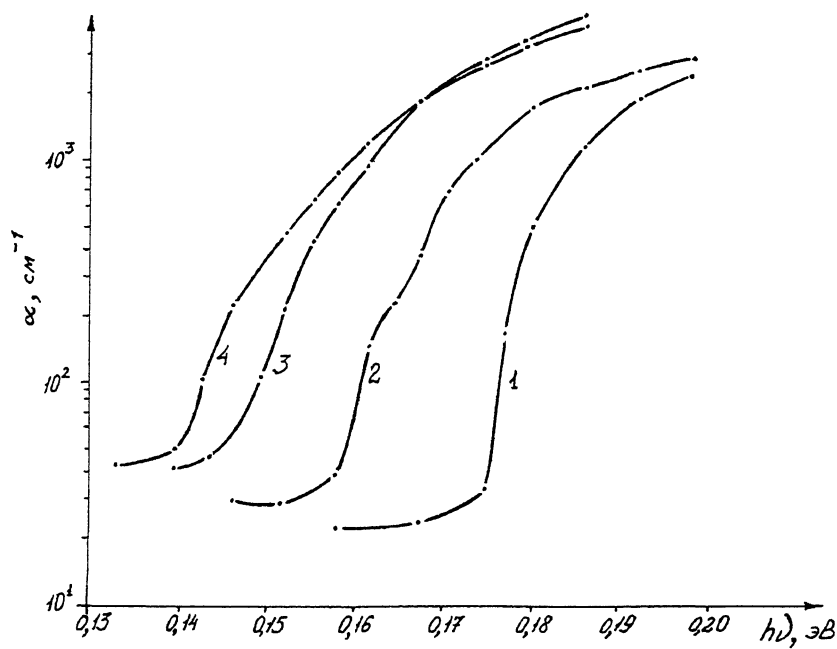
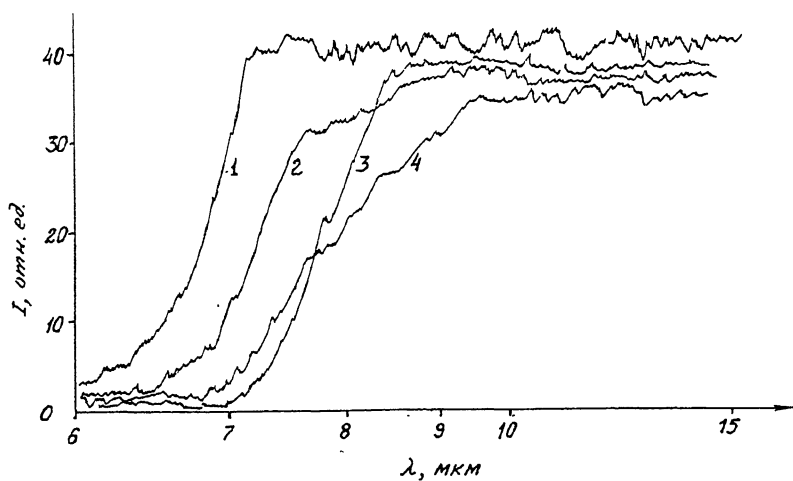


Рис. 1. Спектры оптического пропускания (а) и спектральная зависимость коэффициента поглощения (б) ЭС  $In_{3-x-y}Si_xB_4$  при 77 K: 1 -  $x=0.92$ , 2 -  $x=0.89$ , 3 -  $x=0.87$ , 4 -  $x=0.82$ .

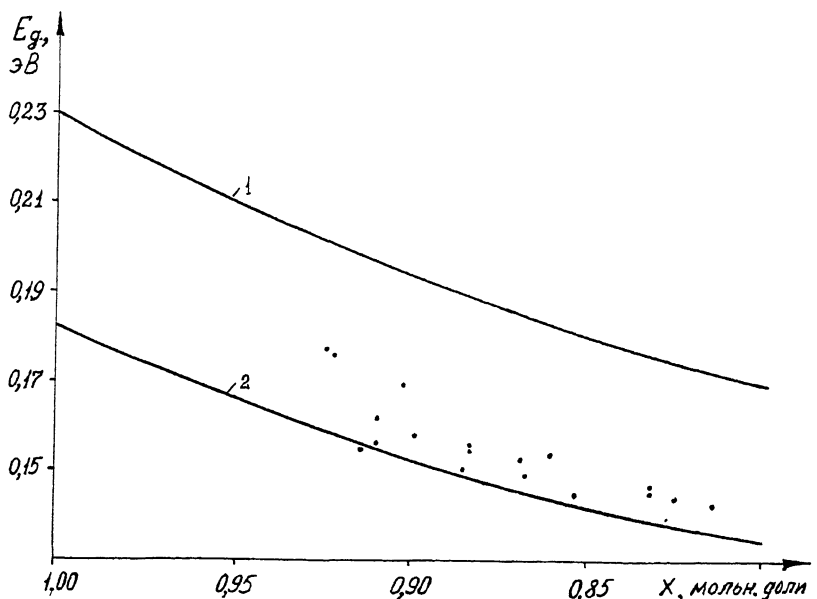


Рис. 2. Результаты расчета зависимости  $E_g$  от состава  $InAs_{1-x}Sb_x$  (1) и  $InAs_{1-x-y}Sb_xBi_y$  (2) при 77 К и экспериментальные данные.

вольт-фарадных характеристик, концентрация дырок в ЭС составила при 77 К  $(2-8) \cdot 10^{16} \text{ см}^{-3}$ .

Таким образом, впервые методом ЖФЭ получены ЭС твердых растворов  $InAs_{1-x-y}Sb_xBi_y$  ( $x=0.82-0.95$ ,  $y=0.009$ ), для которых край собственного оптического поглощения достигает 8.5 мкм при 77 К.

Авторы выражают благодарность профессору В.И. Фистулю и доценту А.А. Гвелесиани за полезное обсуждение результатов работы.

#### Список литературы

- [1] Rogalski A. // Prog. Quant. Electr. 1989. V. 13. P. 191-231.
- [2] Kuritz S.R., Biefeld R.M., Dawson L.R., Fritz I.J., Zippelian T.E. // Appl. Phys. Lett. 1988. V. 53. N 20. P. 1961-1963.
- [3] Kuritz S.R., Dawson L.R., Zippelian T.E., Whaley R.D. // IEEE Electron Device Lett. 1990. V. 11. N 1. P. 54-56.

- [4] Jean-Louis A.M., Намон С. // Phys. Stat. Sol. (b). 1969. V. 34. N 1. P. 329-341.
- [5] Уфимцев В.Б., Зиновьев В.Г., Раухман М.Р. // Изв. АН СССР. Сер. Неорган. материалы. 1979. Т. 15. № 10. С. 1740-1743.
- [6] Оптические свойства полупроводников (полупроводниковые соединения АШВУ) / Под ред Уиллардсона Р. и Бира А. М.: Мир, 1970. 488 с.
- [7] String fellow G.B., Greene P.E. // J. Electrochem. Soc. 1971. V. 118. N 5. P. 805-810
- [8] Акчурин Р.Х., Сахарова Т.В., Тарасов А.В., Уфимцев В.Б. // Изв. АН СССР. Сер. Неорган. материалы. 1992. Т. 28. № 3.

Московский  
институт тонкой  
химической технологии  
им. М.В. Ломоносова

Поступило в Редакцию  
22 апреля 1992 г.